

# Estabilidade Nuclear

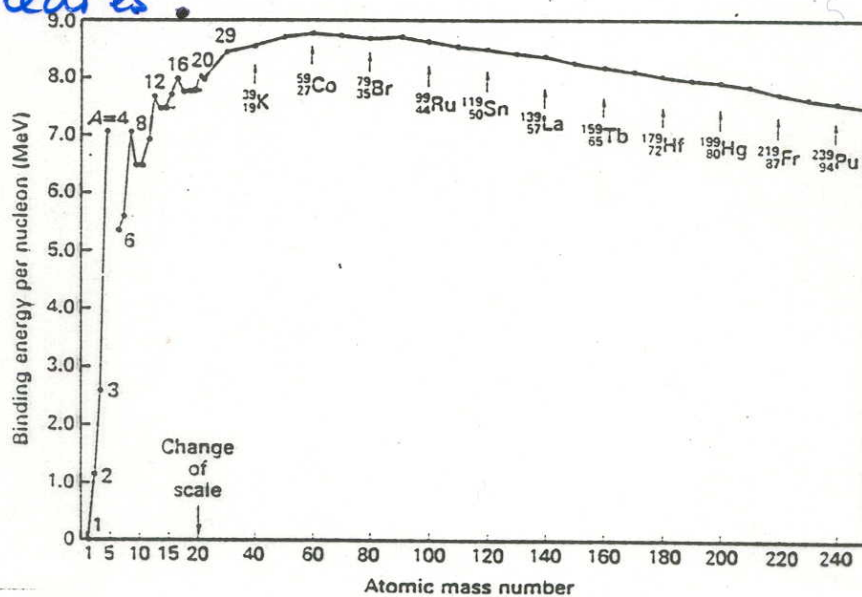
À medida que o número de massa,  $A$ , aumenta, os nuclídeos (espécies nucleares) estáveis afastam-se da diagonal  $Z = N$  ( $Z = \text{nº atómico} = \text{nº protões}$ ;  $N = \text{nº neutrões}$ ), devido ao efeito repulsivo crescente dos protões.

⇒ nuclídeos estáveis de  $A$  intermédio e alto :  $N > Z$

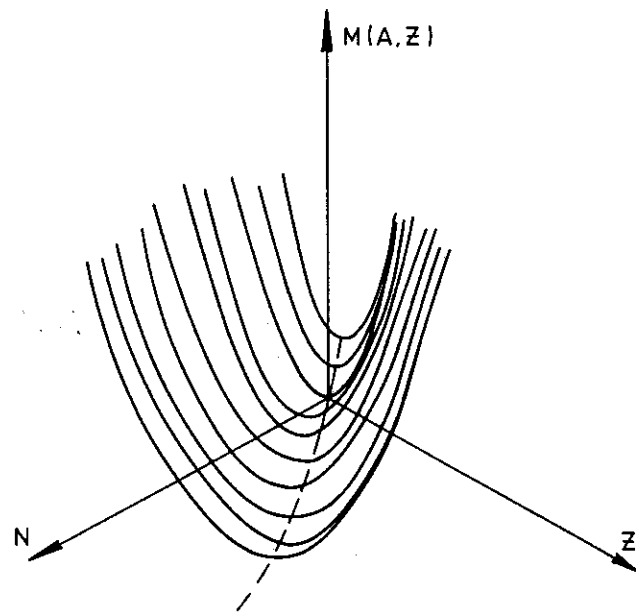
→ ver figuras

Verificam-se desvios às propriedades médias esperadas dos nuclídeos (volume, energia de ligação).

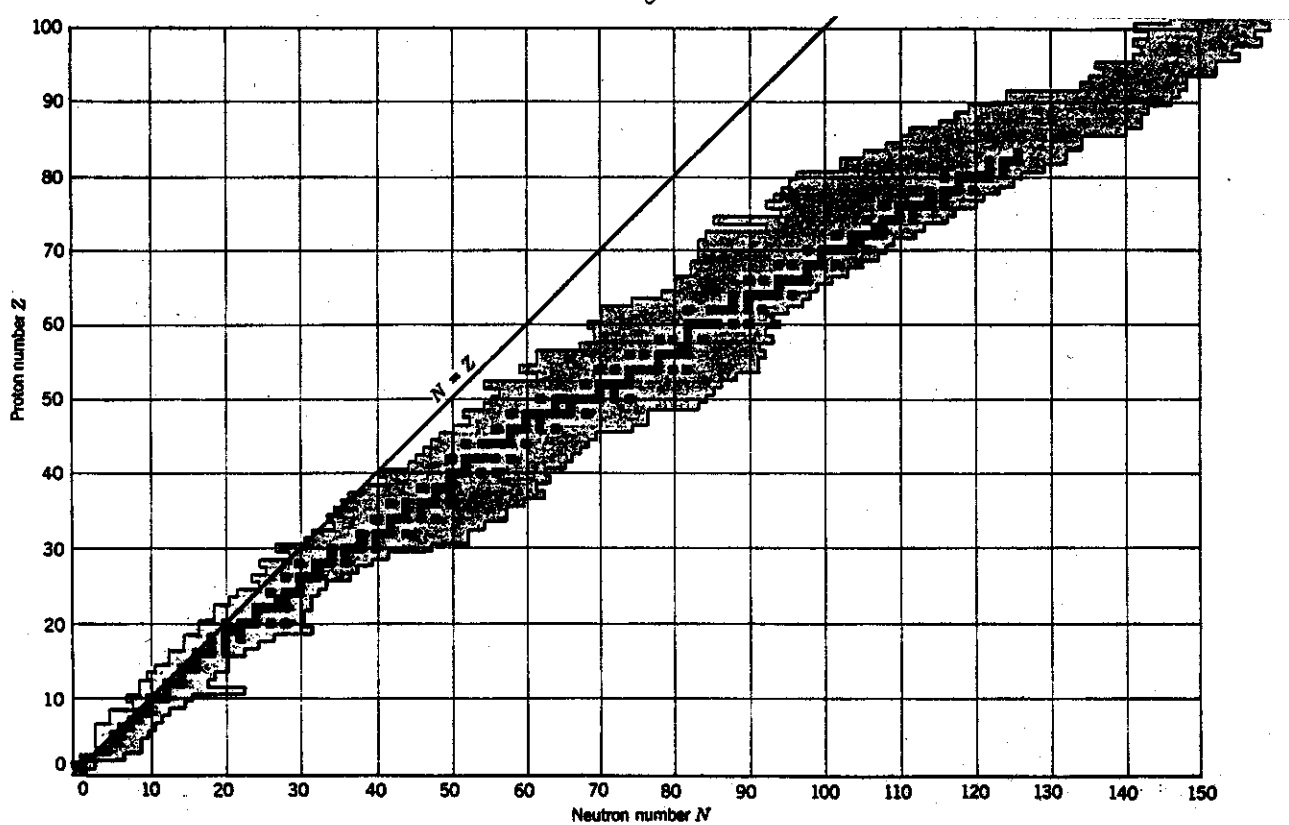
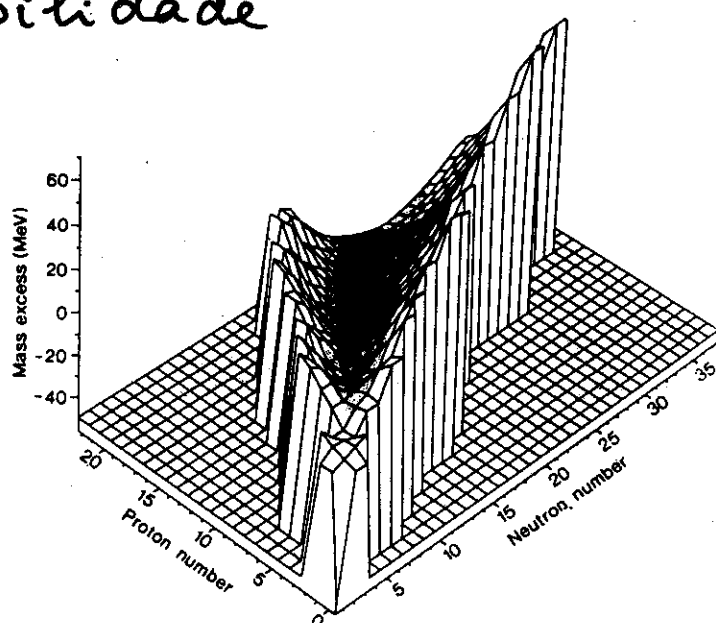
Por exemplo, a energia de ligação por nucleão (protão ou neutrão) em função do nº massa  $A$  exibe picos em certos valores ⇒ maior estabilidade para certos  $Z$  e/ou  $N$ : "números mágicos" nucleares.



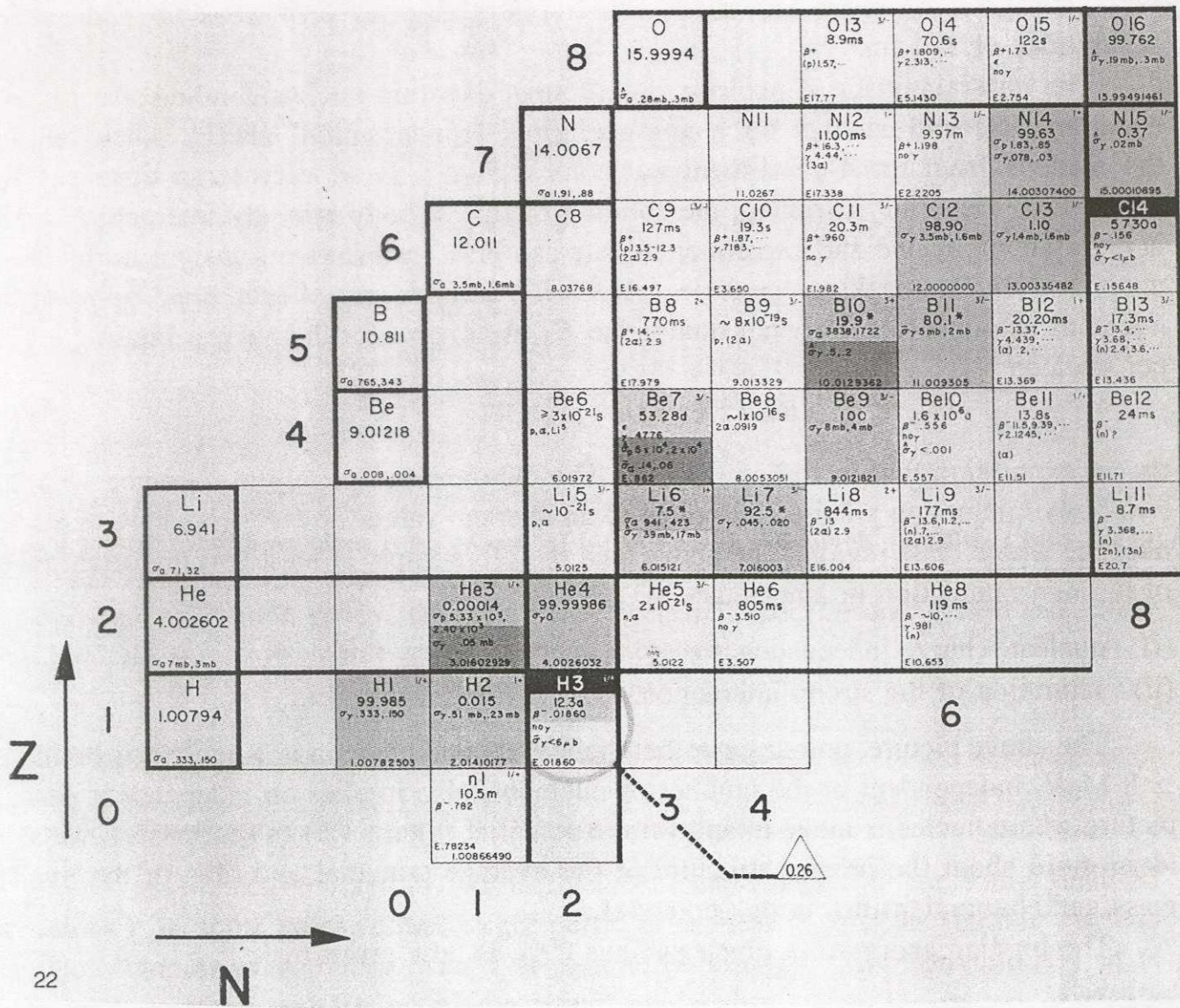
⇒ Grande estabilidade de  ${}^4\text{He}$ .



○ vale de estabilidade nuclear



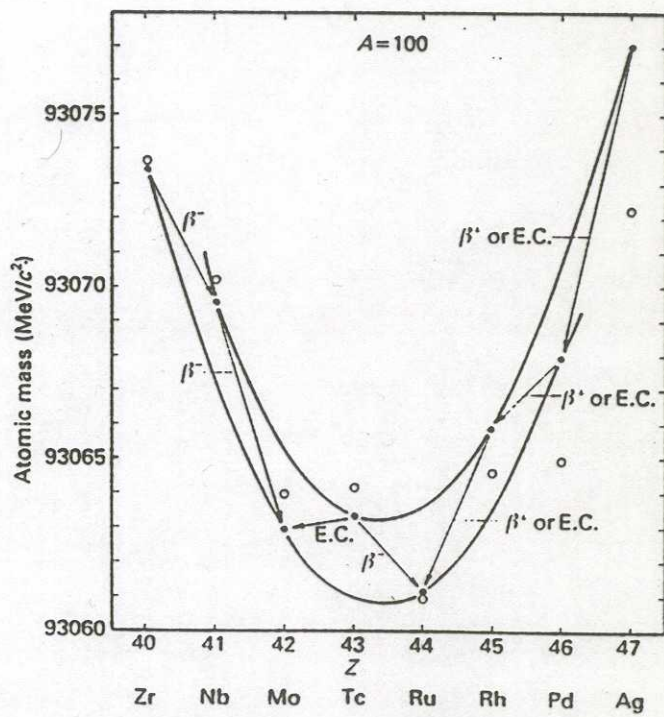
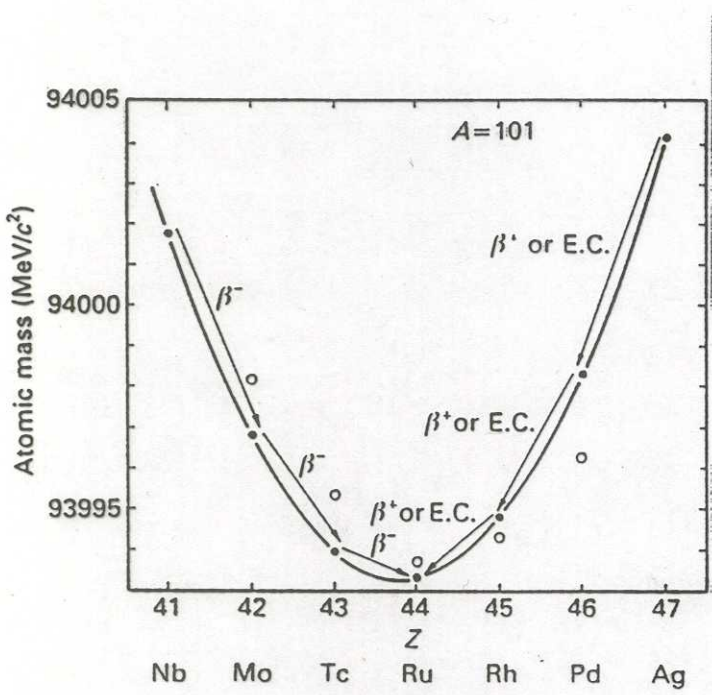
Afastamento da diagonal  $N = Z$  para nuclídeos pesados



Seção da carta de espécies nucleares para nuclídeos leves

## Transição para a estabilidade

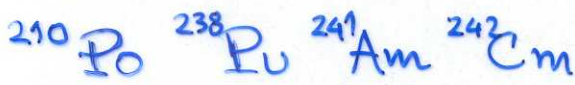
- Emissão  $\beta^-$  ( $\beta^+$ ) permite a um núcleo de massa intermédia, mantendo  $A$  constante, "subir" ("descer") em  $Z$  para encontrar uma posição estável.  $\rightarrow$  ver figuras
- Para grandes  $A$  ocorre também a emissão de núcleos de hélio,  ${}^4\text{He} \equiv$  partículas  $\alpha$ .



# DESINTEGRAÇÕES NUCLEARES

## Decaimento $\alpha$

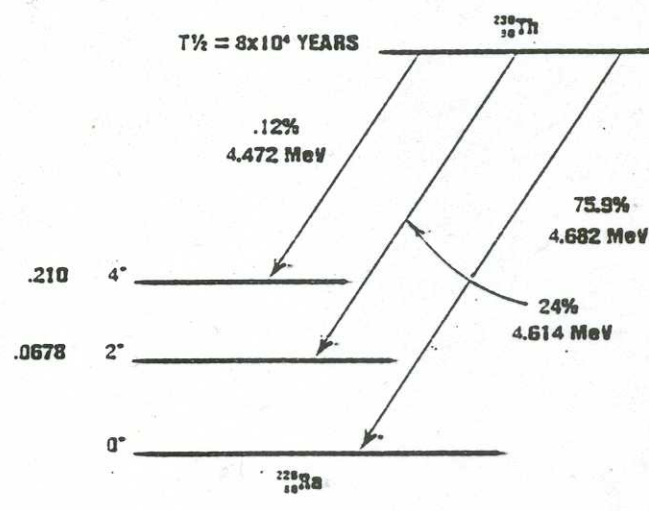
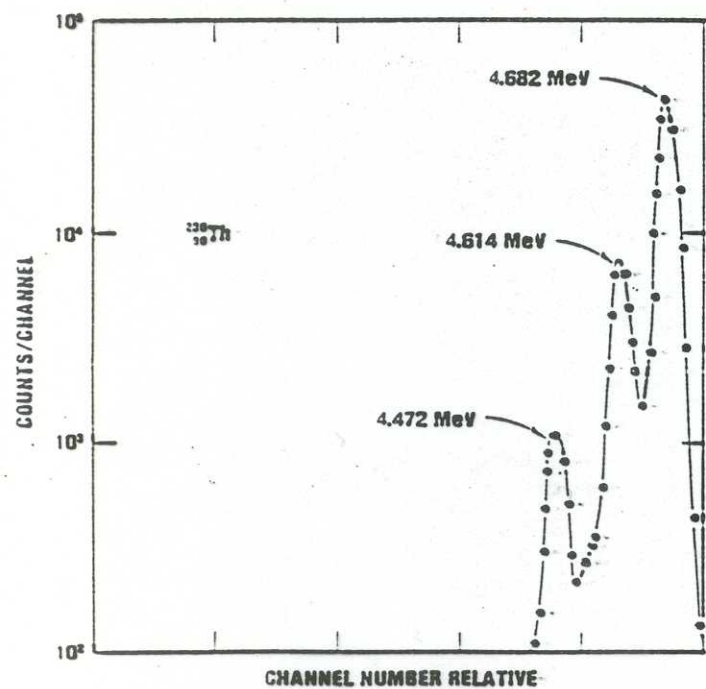
Dá-se em nuclídeos pesados :



Trata-se da emissão de um núcleo de  $^4\text{He}$  ( $= 2$  protões + 2 neutrões) por efeito de túnel.

Dada a grande estabilidade de  $^4\text{He}$ , a sua emissão coerente é energeticamente mais vantajosa que a emissão de nucleões isolados.

O nuclídeo muda de identidade :



Só a partícula  $\alpha$  é emitida  
 $\Rightarrow$  espectro de energia é discreto.

Energias típicas são da ordem de  
 $\sim 4 - 6 \text{ MeV}$

pois a transmissão em barreiras de potencial é função da energia.

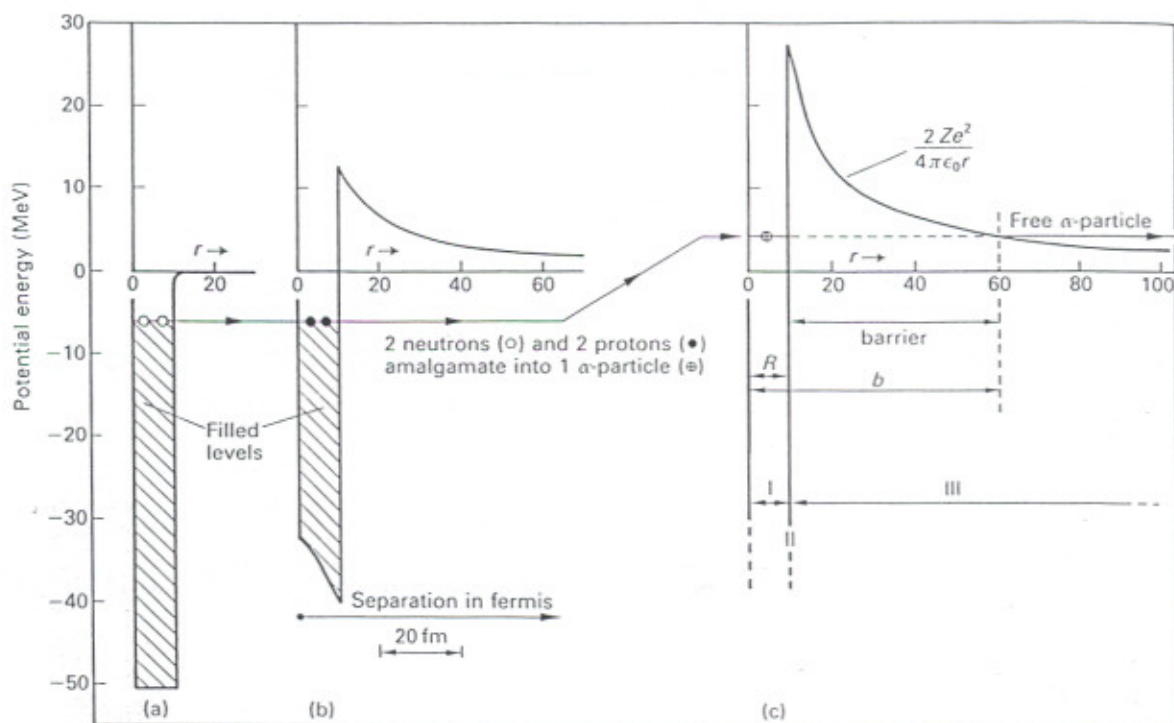
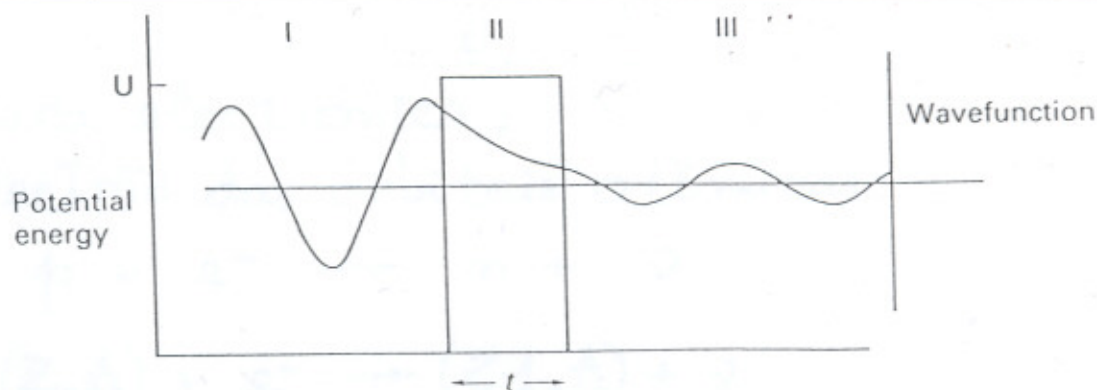


Fig. 6.2 Diagrams of the form of the potential energy versus distance  $r$  from the nuclear centre for (a) neutrons and (b) protons in and near a nucleus of  $Z=90, A\approx 236$ . The changing of two protons and two neutrons as they amalgamate to form

an  $\alpha$ -particle is shown. If an  $\alpha$ -particle is formed, then it is presumed to have a potential energy as a function of distance, as shown in (c). The regions I, II, and III are described in the text.

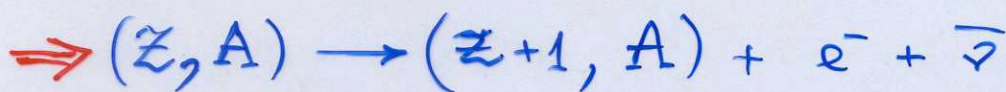
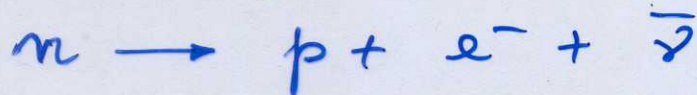
- Probabilidade de transmissão p/ efeito de túnel:

$$T(E) \approx e^{-\frac{2Kt}{\hbar}}, \quad \text{e} \quad K = \frac{1}{\hbar} \sqrt{2M(U-E)}$$

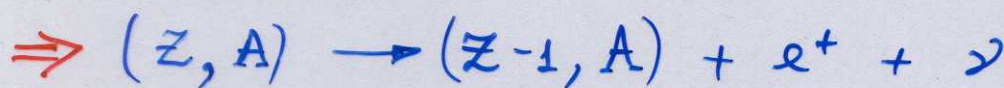
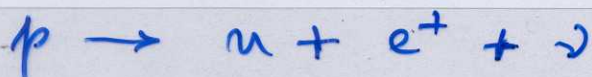


## Decaimento $\beta^-$

- Num nuclídeo rico em neutrões ocorre o decaimento  $\beta^-$ :

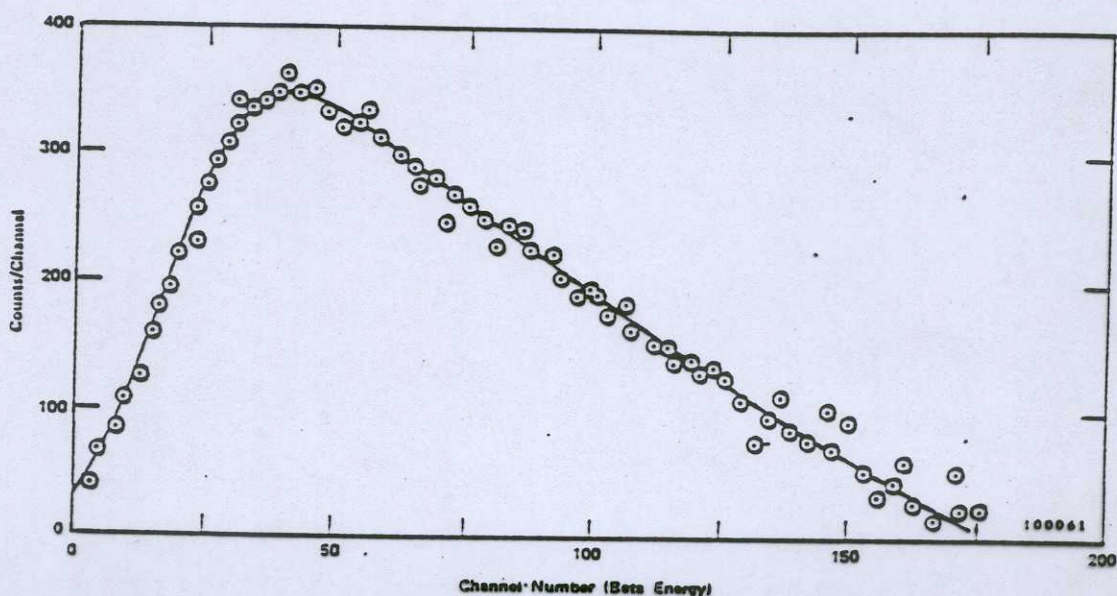
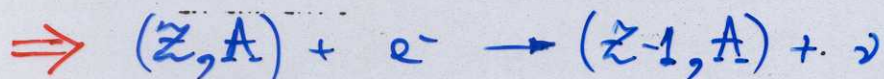


- Num nuclídeo rico em protões dá-se a desintegração  $\beta^+$ :



ou dá-se a:

captura electrónica, em que o núcleo capta um electrão das orbitais atómicas:



As emissões  $\beta^-$  e  $\beta^+$  são processos a 2 corpos no estado final (+ nuclídeo final, que recua ligeiramente)  $\Rightarrow$  partilha de energia entre o electrão (positrão) e o antineutrino (neutrino).

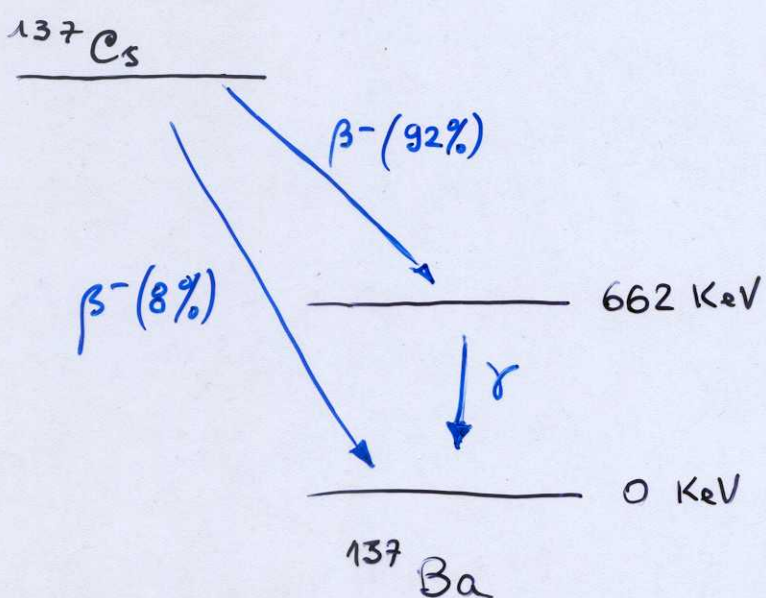
$\Rightarrow$  espectro de energia contínuo para o  $e^-$  ( $e^+$ ) com um valor máximo característico da desintegração em jogo desse nuclídeo ( $\beta$  "end-point").

→ ver figura

Há nuclídeos que decaem para mais que um estado final do nuclídeo-filho.

Neste caso, há lugar a diversos espectros contínuos de energia, que se sobrepõem de acordo com as suas probabilidades de decaimento

$\Rightarrow$  diversos "end-point"



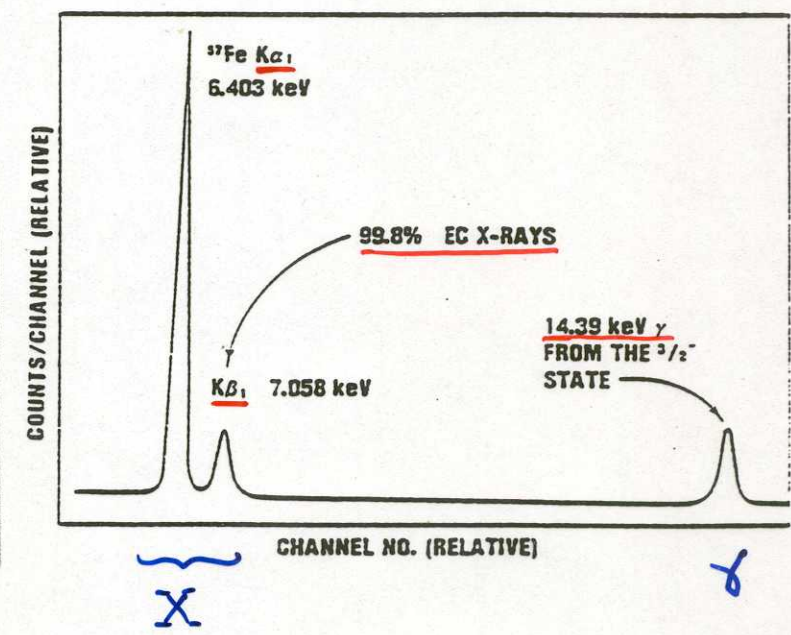
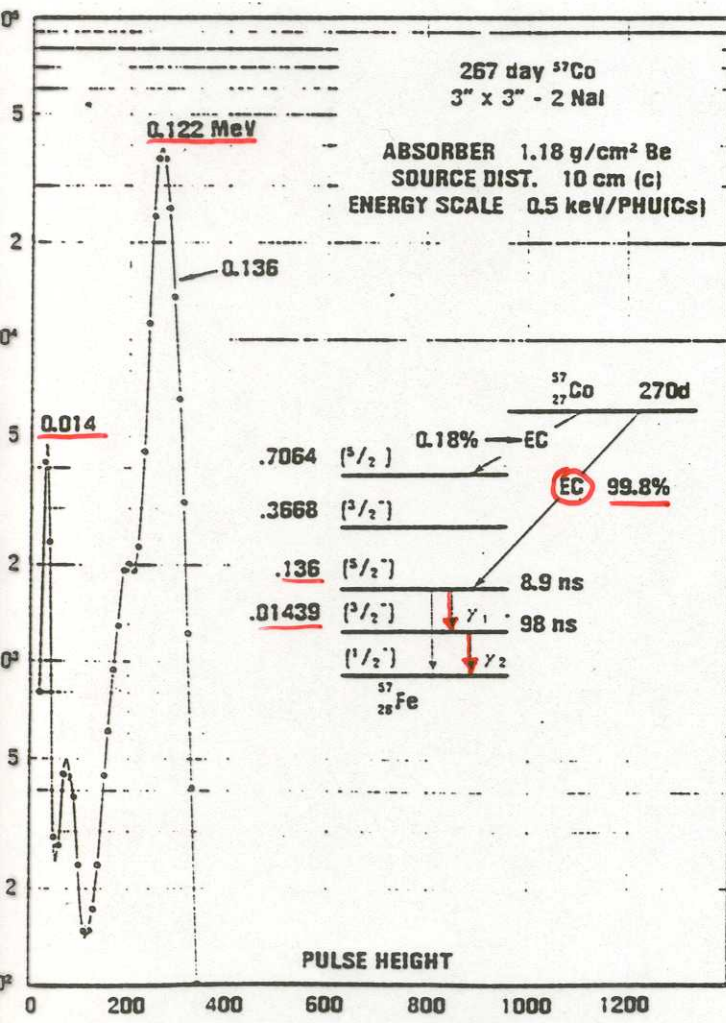
Na captura electrónica há emissão de uma só partícula: o neutrino, de muito difícil detecção...  $\Rightarrow$  impossível a observação directa deste modo de decaimento.

Mas, por reordenação dos electrões atómicos, dá-se a emissão de radiação X, conjunto de picos tais que

$$E_X = \phi_L - \phi_K, \text{ ou } \phi_M - \phi_L, \dots$$

ou, de maneira concorrente, de electrões Auger, também monocinéticos.

- $E_X$  e  $E_{\text{Auger}} < \text{alguns keV}$

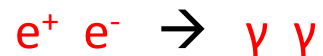


No caso de **declíneo**  $\beta^+$ , o **positrão** interactua com os **electrões atómicos** do meio, perdendo gradualmente a sua energia em milhares de interacções sucessivas ( $> 10^7$ ).

Quando atinge a **energia típica** dos electrões atómicos ( $\sim 20\text{-}40 \text{ keV}$ ), captura um  $e^-$ , formando um **positronium**.

O **positronium**, sistema ligado  $e^+ e^-$ , é criado num estado **excitado**. Como é instável dão-se transições até se atingir o estado de **energia mínima** ( $\sim \text{eV}$ ), durante o seu **tempo de vida** ( $T_m \sim 1 \text{ ps}$ ).

É só nesta situação limite (de “**repouso**”) que se dá a **aniquilação**:



## Emissão &

Resulta da transição dos níveis de energia nucleares mais energéticos dos nuclídeos-filhos para o estado fundamental, directamente ou em cascata.

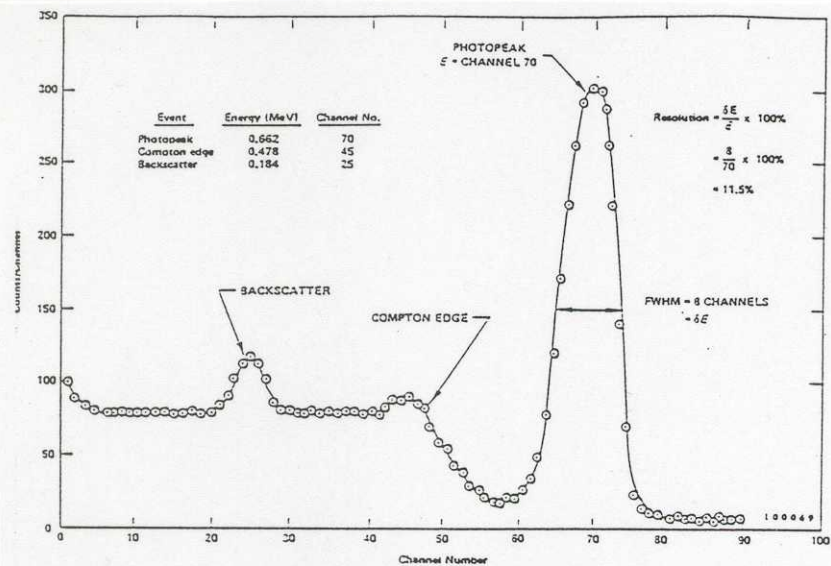
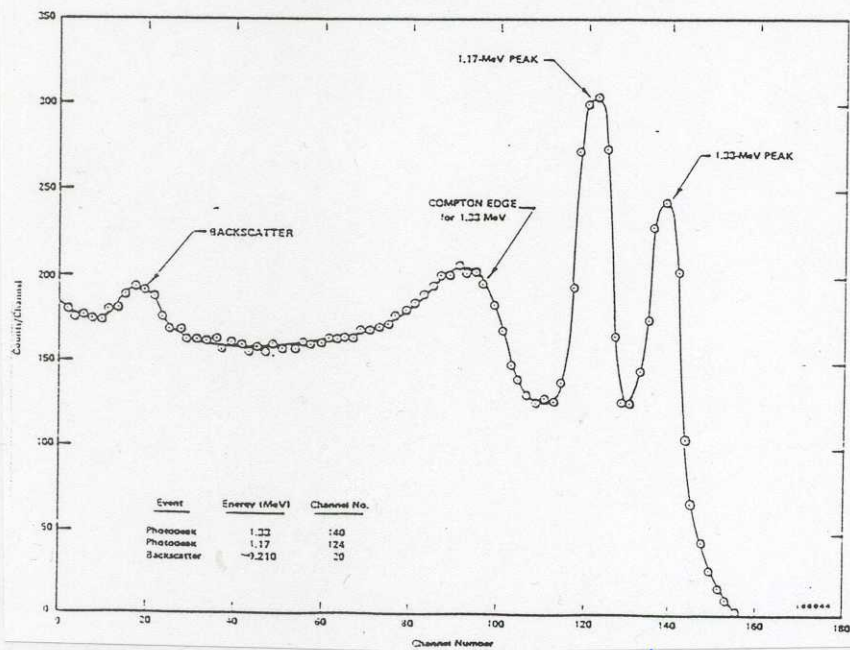


Fig. 3.2. NaI(Tl) Spectrum for  $^{137}\text{Cs}$ .



$E_{\gamma}$  variam entre as dezenas de keV e alguns MeV.

## Conversão interna

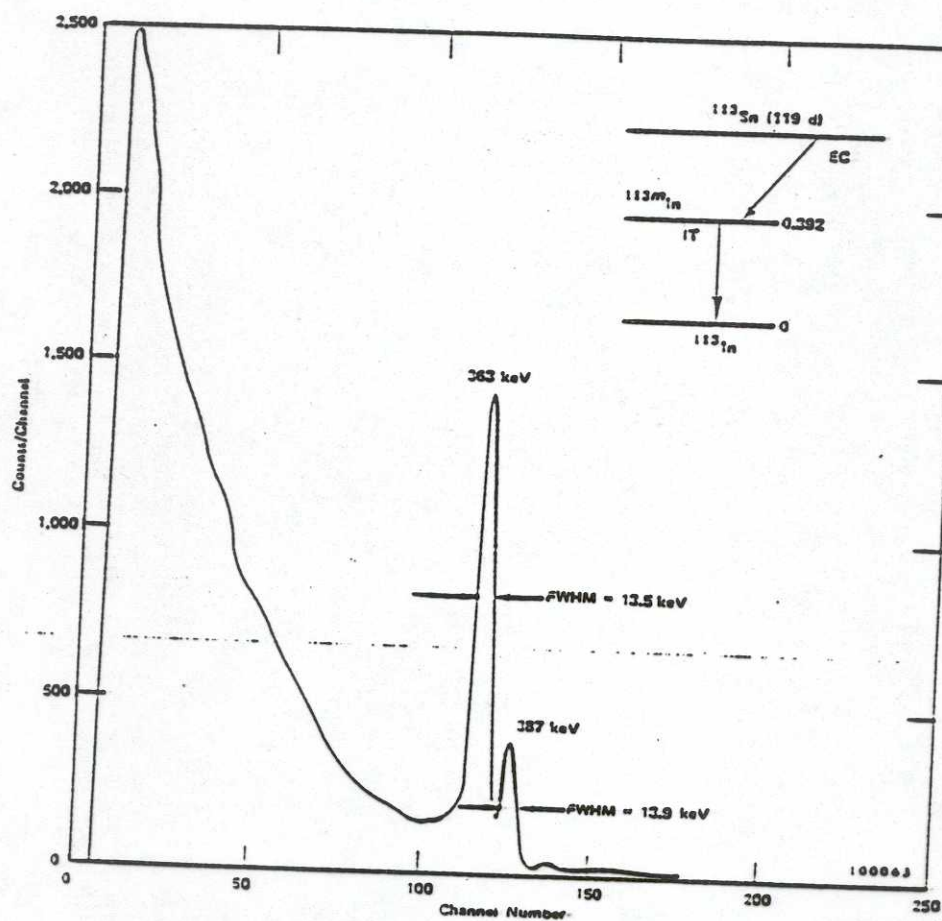
A energia de desexcitação nuclear não sai sob a forma de emissão  $\gamma$ , mas é directamente transferida para um electrão atómico.

É um fenómeno monoenergético:

$$E_e = E_\gamma - \phi_i$$

( $\phi_i$ : energia de ligação da camada  $i = K, L, M, \dots$ )

→ formam-se grupos de picos de conversão interna, com espaçamento  $\Delta E = \phi_i - \phi_j$ , de probabilidade decrescente à medida que  $E$  aumenta.



## Radiação de aniquilação

No caso da desintegração  $\beta^+$ , o positrão, sendo uma anti-partícula, tem grande probabilidade de se aniquilar ao encontrar um electrão do material envolucro da fonte ou do próprio detector, produzindo 2 fotões de 511 KeV cada.

$$e^+ e^- \rightarrow \gamma\gamma$$

Os dois fotões, de modo a conservar o momento partem em direções opostas, pelo que só um costuma ser detectado.

